

# Evaluation of Water Distribution Network Partitioning Methods Based on Graph Theory Using AHP

V. Dahrazma<sup>1</sup>, M. R. Hessami Kermani<sup>2</sup>

1. Msc. Student of Civil Engineering Water and Hydraulic Structures,  
Faculty of Engineering, Shahid Bahonar University, Kerman, Iran  
2. Assoc. Prof., Faculty of Engineering, Shahid Bahonar University,  
Kerman, Iran  
(Corresponding Author) hessami@uk.ac.ir

(Received Aug. 28, 2019 Accepted Feb. 23, 2020)

**To cite this article:**

Dahrazma, V., Hessami Kermani, M. R. 2020. "Evaluation of water distribution network partitioning methods based on graph theory using AHP" Journal of Water and Wastewater, 31(5), 11-24.  
Doi: 10.22093/wwj.2020.199394.2916. (In Persian)

## Abstract

The dramatic decline in renewable water resources, leakage and pollution in water distribution systems has led to a significant increase in the focus on leakage management and control approaches in most parts of the world. For this purpose, water distribution networks can be subdivided into manageable subdivisions with connecting pipes of these subdivisions equipped with flow meters to control leakage and better manage the water distribution network. In the present study, based on graph theory, the concept of District Meter Area (DMA) is expressed. In order to rank the optimal design of the water distribution network, AHP has been used to minimize the balance in the subdivisions, the number of boundary pipes, the number of pipes equipped with flow meters and for maximization of both flexibility and minimum pressure indices. In this paper, by evaluating different algorithms for creating DMAs of water distribution networks, the best method is suggested. Indexes were ranked by studying the experts' opinion and forming the matrix of paired comparisons, so the first rank for maximizing the resilience index IR was 0.401 and the last one was for minimizing the number of flow meters with a score of 0.063. Based on the weight and criteria ranking, the water distribution network algorithms were scored. In terms of weighted graph, the highest score belonged to EBC algorithm and the lowest score to FGC algorithm. In terms of the unweighted graph spectral clustering algorithms rank first and FGC and MA algorithms rank last. In the unweighted graph,



some algorithms have equal scores, so more indices are needed to compare them. Due to the simplification of the problem and the pairwise comparison of the criteria with each other, according to the experts, this method offers an optimal and desirable result for selecting the appropriate method for converting the water distribution network into DMAs. In this paper, the EBC algorithm with a score of 0.182 for the weighted graph, the spectral clustering algorithms with a score of 0.145 for the weighted graph were ranked first.

**Keywords:** Water Network Partitioning, Graph Theory, Partitioning Index, Analytic Hierarchy Process (AHP).



## ارزیابی روش‌های ناحیه‌بندی شبکه توزیع آب بر مبنای تئوری گراف با استفاده از تحلیل سلسله مراتبی

ویدا دهرآزم<sup>۱</sup>، مسعود رضا حسامی کرمانی<sup>۲</sup>

- ۱- دانشجوی کارشناسی ارشد، گروه عمران-گرایش آب و سازه‌های هیدرولیکی،  
دانشکده مهندسی، دانشگاه شهید باهنر، کرمان، ایران
- ۲- دانشیار، دانشکده مهندسی، دانشگاه شهید باهنر، کرمان، ایران  
(نویسنده مسئول) hessami@uk.ac.ir

(دریافت ۹۸/۷/۶ پذیرش ۹۸/۱۲/۴)

برای ارجاع به این مقاله به صورت زیر اقدام بفرمایید:

دهرآزم، و، حسامی کرمانی، م.ر، ۱۳۹۹، "ارزیابی روش‌های ناحیه‌بندی شبکه توزیع آب بر مبنای تئوری گراف با استفاده از تحلیل سلسله مراتبی"

Magazine: آب و فاضلاب، ۳۱(۵)، ۲۴-۱۱  
Doi: 10.22093/wwj.2020.199394.2916

### چکیده

کاهش جشمگیر منابع آب تجدیدپذیر، مسئله نشت و آلودگی در سیستم‌های توزیع آب سبب شده است تا تمرکز سر روى رویکردهای مدیریتی و کنترل نشد در اکثر نقاط دنیا به مقدار قابل توجهی افزایش یابد. به این منظور می‌توان شبکه‌های توزیع آب را به زیربخش‌هایی قابل کنترل تقسیم کرد که لوله‌های اتصال دهنده این زیربخش‌ها برای کنترل نشت و مدیریت بهتر شبکه آب به جریان سنج مجهز شوند. در این پژوهش بر مبنای تئوری گراف، روش‌های ایجاد نواحی مجازی قابل اندازه‌گیری بیان شده است. به منظور انتخاب طراحی بهینه شبکه توزیع آب از فرایند تحلیل سلسله مراتبی (AHP) با هدف کمینه‌سازی توازن در زیربخش‌ها، تعداد لوله‌های مرزی، تعداد لوله‌های مجهز به جریان سنج‌ها و بیشینه‌سازی دو شاخص مقاومت‌پذیری شبکه و حداقل فشارگرهای، استفاده شد. در این پژوهش با ارزیابی الگوریتم‌های مختلف برای ناحیه‌بندی شبکه‌های توزیع آب روش برتر پیشنهاد شد. با بررسی نظر متخصصین و تشکیل ماتریس مقایسات زوجی، شاخص‌ها رتبه‌بندی شدند که رتبه نخست برای بیشینه‌سازی شاخص مقاومت‌پذیری با امتیاز ۴۰/۰ و رتبه آخر برای کمینه‌سازی تعداد جریان سنج‌ها با مقدار امتیاز ۰/۶۳ مشخص شد. بر مبنای وزن و رتبه‌بندی معیارها، الگوریتم‌های ناحیه‌بندی شبکه توزیع آب امتیازدهی شدند. در شرایط گراف وزن دار بیشترین امتیاز به الگوریتم EBC و کمترین امتیاز به الگوریتم FGC تعلق گرفت. در شرایط گراف بی‌وزن الگوریتم‌های خوشبندی طیفی در رتبه نخست و الگوریتم‌های FGC و MA در رتبه آخر قرار گرفتند. در گراف بی‌وزن برخی از الگوریتم‌ها امتیازهایی برابر با یکدیگر کسب کردند، بنابراین به شاخص‌های بیشتری برای مقایسه، نیاز بود. این روش بهدلیل ساده‌سازی مسئله و مقایسه زوجی معیارها با یکدیگر مطابق نظر متخصصین، نتیجه‌ای بهینه و مطلوب به منظور انتخاب روش مناسب برای تبدیل شبکه توزیع آب به نواحی مجازی قابل اندازه‌گیری ارائه می‌دهد. در این پژوهش الگوریتم EBC با امتیاز ۰/۱۸۲ برای گراف وزن دار، الگوریتم‌های خوشبندی طیفی با امتیاز ۰/۱۴۵ برای گراف بی‌وزن در رتبه نخست قرار گرفتند.

**واژه‌های کلیدی:** افزایش‌بندی سیستم‌های توزیع آب، تئوری گراف، شاخص‌های افزایش‌بندی، تحلیل سلسله مراتبی



**۱- مقدمه**

به دلیل کاهش مقاومت پذیری در شبکه است. علاوه بر مشکلات بیان شده، تبدیل شبکه‌های توزیع آب به نواحی مجزای قابل اندازه‌گیری دارای هزینه‌های زیادی است و منابع سرمایه‌گذاری برای اجرای این روش‌ها محدود است. در نتیجه با توجه به مزایا و معایب این روش، طرحی برای تاچیه‌بندی می‌تواند مناسب باشد که سازگاری مطلوبی بین جنبه‌های مثبت و منفی این روش ایجاد کند. در زمینه تاچیه‌بندی شبکه توزیع آب پژوهشگران کارهای بسیاری انجام دادند. دی‌ناردو و دی‌ناتل در سال ۲۰۱۱ روشی ابتکاری را برای تبدیل شبکه‌های توزیع آب به مناطق مجزای قابل اندازه‌گیری بر مبنای تئوری گراف<sup>۱</sup> ارائه کردند. آنها از روش پشتیبانی طراحی<sup>۲</sup>، شاخص‌های انرژی از جمله شاخص مقاومت پذیری و پژوهش در مورد مسیرهای حداقل انرژی که از هر مخزن به هر گره در یک شبکه توزیع آب محاسبه می‌شود، استفاده کردند. آنها روش پیشنهادی خود را بر روی شبکه حقیقی در ایتالیا اعمال کردند و در نهایت آن را روشی مقرر به صرفه با قابلیت اطمینان مناسب برای تبدیل شبکه‌های بزرگ حلقوی به DMA<sup>۳</sup> معرفی کردند (Di Nardo and Di Natale, 2011).

در سال ۲۰۱۱ استفلد و پرلمان بر اساس جهت جریان در لوله‌های شبکه توزیع آب و بر مبنای تئوری گراف، شبکه توزیع آب را به نواحی مجزای قابل اندازه‌گیری تقسیم کردند (Perelman and Ostfeld, 2011).

در سال ۲۰۱۶ اسکارپا روشی را ارائه داد که از این روش برای شناسایی DMA‌های مستقل از یکدیگر در شبکه‌های توزیع آبی که تعداد زیادی منابع مستقل از هم دارند، استفاده می‌شود. در روش پیشنهادی وی، ابتدا شبکه توزیع آب با استفاده از نرم‌افزار EPANET تحلیل می‌شود، سپس تعداد منابع و ماتریس مجاورت از اتصالات شبکه تشکیل می‌شود و در انتها، بر اساس تعداد منابعی که از آنالیز شبکه در مرحله قبل به دست آمد و با استفاده از الگوریتم DFS<sup>۴</sup> و Dijkstra<sup>۵</sup> نواحی مجزای قابل اندازه‌گیری تشکیل می‌شوند. پس از اعمال این روش بر روی شبکه حقیقی شاخص‌های انرژی مانند شاخص مقاومت پذیری و شاخص فشار (فشار حداقل،

امروزه با توجه به افزایش روزافرون جمعیت، محدود بودن منابع تأمین آب، کاهش چشمگیر منابع آب تجدیدپذیر و تغییرات شرایط آب و هوایی، استفاده از منابع آب و توزیع مناسب آن بررسی شد. یکی از مهم‌ترین مواردی که برای بهبود در کارایی شبکه‌های توزیع آب مورد پژوهش قرار می‌گیرد، مسئله نشت است. نشت ممکن است در مخازن ذخیره آب، شبکه انتقال و سیستم‌های توزیع آب اتفاق افتد که اگرچه نشت در مخازن ذخیره و شبکه انتقال مسئله مهمی است ولی بیشترین مقدار نشت در سیستم‌های توزیع آب اتفاق می‌افتد. نشت در سیستم‌های توزیع آب تلفات آب را به همراه دارد. تلفات آب در سیستم‌های توزیع ممکن است شدید باشد و یا ماهها و سال‌ها شناسایی نشوند. شدیدترین تلفات معمولاً در اثر ترکیدن لوله و یا از هم گسیختگی اتصالات اتفاق می‌افتد. در حالی که تلفات کوچکتر در اثر نشت آب در لوله‌ها و یا نقاط اتصال دهنده آنها است. حجم تلفات بستگی به مقدار فشار در سیستم‌های توزیع آب و زمان آگاهی از نشت در شبکه توزیع آب دارد. بنابراین با توجه به این مسئله که نشت مانند تلفات شدید آشکار نیست و وجود نشت در سیستم‌های توزیع آب می‌تواند مشکلاتی از قبیل خسارات مالی، نارضایتی مصرف‌کنندگان و کاهش کیفیت آب را به همراه داشته باشد، در نتیجه برای شناسایی محل نشت‌های گزارش نشده و مقدار آنها به روش‌های خاصی نیاز است.

یکی از راهکارهای کنترل نشت، آلودگی و مدیریت فشار در سیستم‌های توزیع آب، تقسیم شبکه‌های توزیع آب به چند ناحیه مجزای هیدرولیکی قابل اندازه‌گیری است. در این روش، ابتدا سیستم‌های توزیع آب به چند ناحیه مجزا تقسیم شده و سپس لوله‌های اتصال دهنده این نواحی به یکدیگر مجهز به دستگاه‌های جریان سنج می‌شوند و یا توسط شیر فلکه‌ها بسته می‌شوند. به این نواحی مجزای هیدرولیکی، "مناطق مجزای اندازه‌گیری شده"<sup>۶</sup> (Farley et al., 2001). گفته می‌شود این روش با وجود مزایای فراوان می‌تواند مشکلات اساسی ایجاد کند. این مشکلات از قبیل افت فشار، به دلیل بستن برخی از لوله‌ها با استفاده از شیر فلکه‌ها (Campbell et al., 2015) و یا کاهش عملکرد هیدرولیکی شبکه

<sup>2</sup> Graph Theory<sup>3</sup> Design Support Methodology (DSM)<sup>4</sup> Dept First Search (DFS)<sup>5</sup> Dijkstra's Algorithm<sup>1</sup> District Metered Area (DMA)

باشد (آنها مستقل از یکدیگر فرض شوند)، رتبه‌بندی معیارها دارای اهمیت باشند و وزن دهی آنها بر اساس نظر متخصصین انجام شود، می‌توان از فرایند تحلیل سلسله مراتبی که شامل رتبه‌بندی معیارها و پیدا کردن گزینه برتر از بین مجموعه‌ای از گزینه‌ها است، استفاده کرد که اساس آن بر مقایسه زوجی گزینه‌ها است. در این زمینه پژوهش‌های مختلف انجام شده است. تانیمبوم و کالونگی در سال ۲۰۰۹ از روش AHP برای کمک به یافتن بهترین گزینه‌ها به منظور طراحی بلندمدت و ارتقای شبکه توزیع آب استفاده کردند (Tanyimboh and Kalungi, 2009) اکیولا و همکارش در سال ۲۰۱۲ برای ارزیابی آب آشامیدنی در نیجریه از روش AHP استفاده کردند (Okeola and Sule, 2012).

لی و کونگ در سال ۲۰۱۷ ۵ گروه از سطح خدمات شبکه تأمین آب را بر اساس مقدار رضایت مصرف‌کنندگان و تأمین‌کنندگان با استفاده از روش AHP بررسی کردند، که این گروه شامل آب بها، کیفیت آب، طمع و بوی آب، خدمات و فشار آب است (Lee and Kong, 2017).

با توجه به پژوهش‌های انجام شده، در این پژوهش از روش AHP برای یافتن بهترین روش ناحیه‌بندی شبکه توزیع آب استفاده می‌شود. در این فرایند از شاخص‌های توپولوژیکی و هیدرولیکی ناحیه‌بندی شبکه به عنوان معیارها<sup>۴</sup> و الگوریتم MLRB<sup>۵</sup>، MA<sup>۶</sup>، FGC<sup>۷</sup>، EBC<sup>۸</sup>، LSC<sup>۹</sup>، L<sub>tw</sub>SC<sup>۱۰</sup> به عنوان گزینه‌ها استفاده شد تا هدف اصلی فرایند که یافتن روش مناسب ناحیه‌بندی برای بهینه‌سازی شبکه توزیع آب است، به دست آید. کاربرد این روش در قالب یک پژوهش موردنی بر روی شبکه حقیقی در ایتالیا بیان می‌شود. در نتیجه این فرایند، ابتدا معیارها با تشکیل ماتریس مقایسات زوجی رتبه‌بندی می‌شوند که معیار مقاومت‌پذیری شبکه (I<sub>f</sub>) در رتبه یک و معیار تعداد جریان‌سنچ‌ها (N<sub>fm</sub>) در رتبه آخر قرار گرفتند. سپس، مطابق وزن معیارها و نتایج ارائه شده توسط پژوهشگران از الگوریتم‌هایی که بر روی شبکه توزیع آب در ایتالیا انجام شده بودند، گزینه‌ها رتبه‌بندی می‌شوند که در نهایت، گزینه EBC در شرایط گراف وزن دار و الگوریتم‌های خوش‌بندی طیفی در

فشار حداکثر و میانگین فشار) محاسبه شدند؛ نتایج نشان می‌دهد روش پیشنهادی ایشان سبب تشکیل DMAهایی با قابلیت اطمینان مناسب می‌شود (Scarpa et al., 2016).

در سال ۲۰۱۶ ۲۰۱۶ ثیافونی و همکاران روشی جدید برای شناسایی خودکار DMAها بیان کردند. آنها بر مبنای تئوری گراف و بررسی تابع کیفیت ناحیه‌بندی شبکه که توسط کلوست و همکاران در سال ۲۰۰۴ معرفی شده بود (Clauset et al., 2004)، سیستم توزیع آب را به نواحی مجزای هیدرولیکی تقسیم کردند. روند کار آنها عملکردی مشابه تشخیص جامعه به منظور ناحیه‌بندی خودکار شبکه بر اساس تئوری گراف که در سال ۲۰۱۴ توسط کمپل ارائه شده بود، داشت (Ciaponi et al., 2016).

دی‌ناردو و همکاران در سال ۲۰۱۸ شبکه توزیع آب در ایتالیا را بر اساس دو الگوریتم<sup>۱</sup> MLRB و خوش‌بندی طیفی بر مبنای لاپلاس نرمال شده L<sub>rw</sub> به نواحی مجزای قابل اندازه‌گیری تقسیم کردند. آنها عملکرد این دو الگوریتم را بر اساس شاخص‌های عملکرد شبکه ارزیابی کردند. برای ارزیابی این دو روش از معیارهای هیدرولیکی از جمله مقاومت هیدرولیکی لوله‌های مرزی و معیارهای توپولوژیکی از جمله حداقل تعداد لوله‌های مرزی و کمینه‌سازی شاخص تعادل، به منظور شناسایی روشی بهینه و مناسب برای ناحیه‌بندی شبکه توزیع آب استفاده کردند (Di Nardo et al., 2017).

در سال ۲۰۲۰ شکفته و قاضی‌زاده با استفاده از تئوری گراف، الگوریتم<sup>۲</sup> EBC و نرم‌افزار شبیه‌سازی EPANET شبکه حقیقی در بوشهر را به نواحی مجزای قابل اندازه‌گیری تقسیم کرد (Shekofteh and Ghazizadeh, 2020).

با توجه به اهمیت شاخص‌های توپولوژیکی از جمله حداقل تعداد لوله‌های مرزی و شاخص‌های هیدرولیکی مانند شاخص مقاومت‌پذیری و حداقل فشار گره‌ای در ناحیه‌بندی شبکه توزیع آب، می‌توان از فرایند تحلیل سلسله مراتبی<sup>۳</sup> استفاده کرد که در این فرایند چندین معیار با توجه به وزن هر معیار در تصمیم‌گیری دخیل هستند. بنابراین، هرگاه تصمیم‌گیری با چند گزینه و چند معیار روبرو باشد، به گونه‌ای که روابط میان گزینه‌ها و معیارها خطی

<sup>4</sup> Multi- Agent (MA)

<sup>5</sup> Fast Greedy Community (FGC)

<sup>6</sup> Locality Spectral Clustering (LSC)

<sup>1</sup> Multi Level Recursive Bisection (MLRB)

<sup>2</sup> Edge Between Community (EBC)

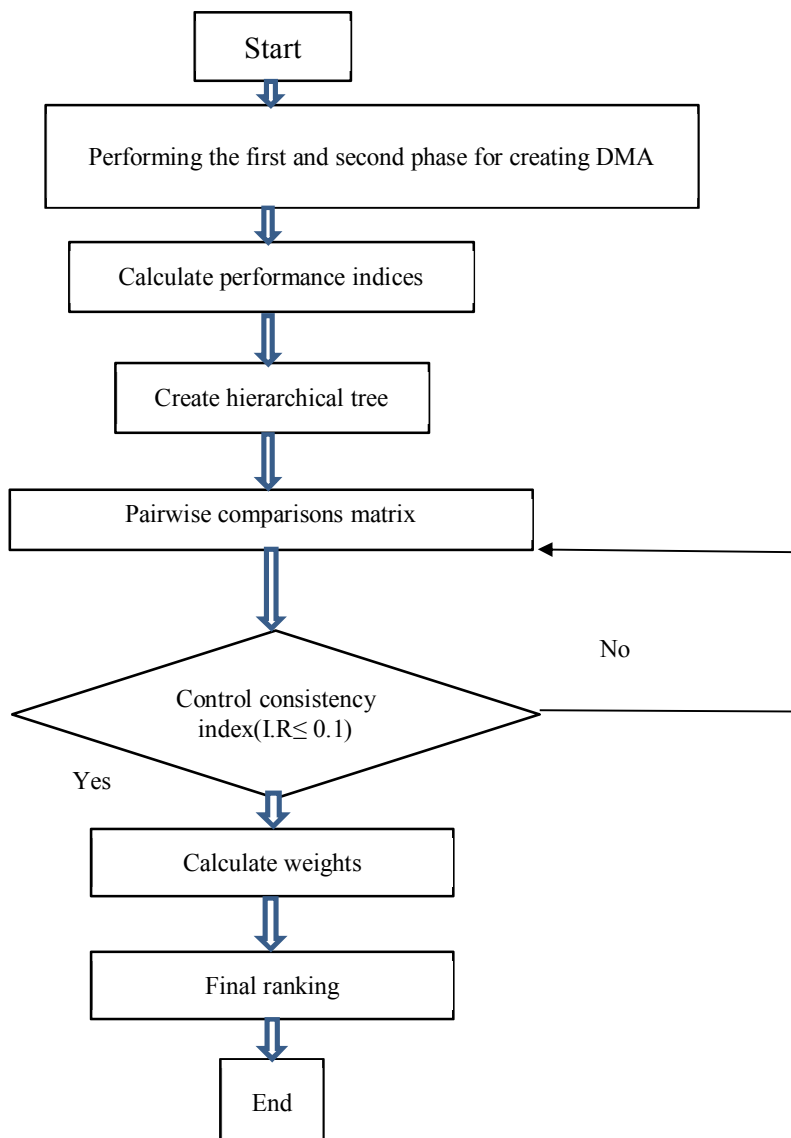
<sup>3</sup> Analytical Hierarchy Process (AHP)



آب که بر مبنای تئوری گراف به عنوان گزینه‌ها مطرح شدند با استفاده از روش AHP ارزیابی شدند. روند انجام کار در شکل ۱ بیان می‌شود.

## ۲- روش کار

در این پژوهش با وزن دهنی بر اساس مقایسات زوجی، ۵ شاخص ناحیه‌بندی به عنوان معیارها که شامل: بیشینه‌سازی مقاومت‌پذیری، حداقل فشار گره‌ای و کمینه‌سازی توازن (تعادل) در نواحی، تعداد لوله‌های مرزی (مجموعه برش‌های بالی) و تعداد لوله‌های مجهز به جریان سنج بود و ۷ الگوریتم از روش‌های ناحیه‌بندی شبکه توزیع



**Fig. 1.** Flowchart of method

شکل ۱- روند انجام کار



ویژه خوشبندی می‌کند. خوشبندی با این روش شامل تبدیل مجموعه‌ای از اشیا به مجموعه‌ای از نقاط در فضاست که مختصات آنها بردارهای ویژه هستند. سپس مجموعه‌ای از این نقاط از طریق روش‌های استاندارد مانند K-mean خوشبندی می‌شوند. (Di Nardo et al., 2015) و لابلس‌های نرمال شده (Von Luxburg, 2007) با استفاده از روش K-mean برای ناحیه‌بندی شبکه توزیع آب در این پژوهش ارائه شدند.

مرحله دوم روش ناحیه‌بندی شبکه‌های توزیع آب با استفاده از الگوریتم ژنتیک انجام می‌شود. هدف در این الگوریتم بهینه‌سازی، حداقل کردنتابع (۱) بر روی گروه‌های مرزی است

$$\text{Max}(\gamma \sum_{i=1}^n Q_i H_i) \quad (1)$$

که در آن وزن مخصوص آب است،  $Q_i$  و  $H_i$  به ترتیب مقدار تقاضا و مقدار هد در هر گره از شبکه آب است.

## ۲-۲- روش AHP

AHP برای اولین بار در دهه ۱۹۷۰ توسط ساعتی مطرح شد و بر پایه تصمیم‌گیری بر اساس مقایسات زوجی استوار است. AHP شامل پنج مرحله کلی است: ۱- بیان و تعریف مسئله ۲- تشکیل درخت سلسله مراتبی ۳- انجام مقایسه زوجی بین عناصر تصمیم ۴- استفاده از مقدار ویژه ماتریس مقایسات برای تخمین زدن وزن‌های نسبی عناصر تصمیم ۵- کنترل معیار سازگاری مقیاس‌ها برای اطمینان از انسجام قضاوت‌های تصمیم‌گیرندگان (Saaty, 1987).

پس از تعیین معیارها و گرینه‌ها، آنها طبق ارزش‌گذاری ساعتی، دو به دو با هم مقایسه می‌شوند که در جدول ۱ نمایش داده شده است. سپس این نظریات را باید به یک نظر واحد تبدیل کرد تا بر اساس آن تصمیم مناسبی حاصل شود. مناسب‌ترین روش برای این کار استفاده از میانگین هندسی است. میانگین هندسی عناصر هر سطر محاسبه شده و سپس بردار حاصل نرمالیزه می‌شود تا بردار وزن بدست آید، سپس از هرسطر میانگین گرفته می‌شود. مقدار حاصل از میانگین نشان‌دهنده الوبت هر متغیر است.

می‌تواند نماینده یک شبکه فیزیکی مانند مدار الکترونیکی، شبکه ریلی و سیستم توزیع آب شهری باشد. توپولوژی سیستم‌های توزیع آب شهری به‌گونه‌ای است که با توپولوژی گراف‌ها هم خوانی دارد، بنابراین سیستم‌های توزیع آب را می‌توان به عنوان یک گراف در نظر گرفت و الگوریتم‌هایی بر اساس تئوری گراف را بر روی آنها اعمال کرد (Campbell et al., 2015).

بر مبنای تئوری گراف روش ناحیه‌بندی شبکه توزیع آب در دو مرحله انجام می‌شود. مرحله اول شامل ایجاد نواحی مجرای هیدرولیکی با استفاده از الگوریتم‌های ناحیه‌بندی شبکه است و مرحله دوم شامل مجهز کردن لوله‌های مرزی به دستگاه‌های جریان‌سنج با استفاده از الگوریتم‌های بهینه‌سازی مانند الگوریتم C= {c<sub>1</sub>, ..., c<sub>k</sub>} است. در مرحله اول، گراف به خوش‌های ناحیه‌بندی می‌شود (هر گره  $A$  به یکی از خوش‌ها تعلق می‌گیرد با این شرایط که  $i \neq j$  و  $C_i \cap C_j = \emptyset$ ، سپس در مرحله دوم، بهترین موقعیت برای نصب جریان‌سنج‌ها و یا شیر‌فلکه‌ها بر روی لوله‌های مرزی بین نواحی که قبلًا توسط الگوریتم‌های خوشبندی به دست آمدند، تعیین می‌شود. در این پژوهش، ۷ روش ناحیه‌بندی شبکه توزیع آب بر اساس فرایند الگوریتم‌های افزایش‌بندی گراف، ساختار جامعه و خوشبندی طیفی ارزیابی می‌شوند.

روش‌های افزایش‌بندی گراف، شامل تقسیم گراف به  $k$  زیربخش است به‌گونه‌ای که حداقل بررش یالی در گراف ایجاد شود و زیربخش‌ها متوازن (متعادل) باشند. ۲ الگوریتم MLRB و MA از این روش هستند. (Di Nardo et al., 2013, Di Nardo et al., 2014)

روش ساختار جامعه از الگوریتم‌های سلسله مراتبی استفاده می‌کند و شرط ایجاد جامعه در گراف، بیشینه‌سازی اختلاف  $(C) - \delta_{\text{int}} - \delta_{\text{ext}}$  روى تمامی خوش‌های حاصل از ناحیه‌بندی می‌باشد. در این معادله  $\delta_{\text{int}}$  چگالی و ترها در داخل ناحیه  $C$  است (یعنی تعداد و ترها در داخل هر خوش بیشتر از تعداد و ترهای بین خوش‌های باشد). در این پژوهش از دو الگوریتم EBC (Di Nardo et al., 2004) FGC و (Clauset et al., 2004, 2015) استفاده شده است. الگوریتم اول بر مبنای مرکزیت بینایینی و تر در گراف است و الگوریتم دوم بر مبنای تغییرات مدولاریتی بین نواحی است.

خوشبندی طیفی شامل تمام روش‌ها و تکنیک‌های افزایش‌بندی گراف می‌شود، به‌گونه‌ای که گروهی از نقاط را بر اساس بردارهای



جدول ۱- تفسیر مقدار ماتریس مقایسه زوجی

Table 1. Interpreting pairwise comparison matrix values

| Explanation   | Comparison of status i to j | Preferred value |
|---|-----------------------------|-----------------|
| Index i is of equal importance to j                 | Preferred equal             | 1               |
| Index i is slightly more important than j           | Moderately preferred        | 3               |
| Index i is more important than j                    | Strongly preferred          | 5               |
| Index i is much more preferred than j               | Very strongly preferred     | 7               |
| Index i is more important than j                    | Extremely preferred         | 9               |
| Shows the middle value between the preferred values | Intermediate                | 2,4,6,8         |

جدول ۲- شاخص ناسازگاری ماتریس تصادفی

Table 2. Random matrix incompatibility index

| n     | 1 | 2 | 3    | 4   | 5    | 6    | 7    | 8    | 9    | 10   |
|-------|---|---|------|-----|------|------|------|------|------|------|
| I.I.R | 0 | 0 | 0.58 | 0.9 | 1.12 | 1.24 | 1.32 | 1.41 | 1.45 | 1.45 |

که در آن  $N_{ec}$  ناسازگاری<sup>۱</sup>، برآورده با تعداد و تراویح بین خوش‌های (مجموعه برش‌های یالی) و  $e_{ij}$  و تراویح اتصال دهنده رئوس متعلق به خوش‌های متفاوت است

$$\text{Minimize } f_2: I_B = \frac{K \times \max(C_k)}{n} \quad (5)$$

$$\text{Maximize } f_5: \min(h_i)_n \quad (6)$$

$$\text{Maximize } f_4: I_r = 1 - \frac{P_D}{P_{D \max}} \quad (7)$$

$$\text{Maximize } f_3: \max(\gamma \sum_{i=1}^n Q_i H_i) \rightarrow \min(N_{fm}) \quad (8)$$

قیود هیدرولیکی شبکه

نرخ ناسازگاری، برای هر ماتریس، از تقسیم شاخص ناسازگاری<sup>۲</sup>، برآورده ناسازگاری ماتریس تصادفی<sup>۳</sup> هم بعدش که در جدول ۲ آمده است، بدست می‌آید که معیار مناسبی برای قضاوت در مورد ناسازگاری آن ماتریس است، این معیار را نرخ ناسازگاری<sup>۳</sup> می‌نامند. چنانچه این عدد کوچکتر یا مساوی ۰/۱ باشد، سازگاری سیستم قابل قبول است و گرنه باید در قضاوت‌ها تجدیدنظر کرد. طریقه محاسبه شاخص نرخ ناسازگاری در معادلات ۲ و ۳ بیان شده است

$$I.I = \frac{\lambda_{\max} - n}{n - 1} \quad (2)$$

$$I.R = \frac{I.I}{I.I.R} \quad (3)$$

که در آن

$$g_i(H,D) = 0 \quad j = 1, 2, 3, \dots, nn \quad (9)$$

$$g_i(H,D) = 0 \quad j = 1, 2, 3, \dots, nn \quad (10)$$

$$D_i \in \{A\} \quad i = 1, 2, 3, \dots, n_p \quad (11)$$

که در آنها

معادلات تعادل جرمی گره‌ای و تعادل انرژی،  $nn$  تعداد نقاط اتصال،  $H_j$  فشار در گره،  $D_i$  مقدار فشار حداقل موردنیاز در هر گره،  $A$  سایز لوله‌های موجود در بازار هستند.

### ۳-۲-شاخص‌های افزایش‌بخشی

این شاخص‌ها را می‌توان به صورت زیر بیان کرد

$$\text{Minimize } f_1: N_{ec} = \sum_{i \in C_k \rightarrow j \in C_k} e_{ij} \quad (4)$$

<sup>1</sup> Inconsistency Index (I.I)

<sup>2</sup> Inconsistency Index of Random Matrix (I.I.R)

<sup>3</sup> Inconsistency Ratio (I.R)



افزونگی انرژی در شبکه را می‌توان با استفاده از این شاخص بررسی کرد. این شاخص بین ۰ و ۱ است و برای هیچ شبکه‌ای به یک نمی‌رسد.

$$\frac{I_r = 1 - P_D}{P_{(D_{max})}} \quad (13)$$

که در آن

$P_D$  توان داخلی و  $P_{D_{max}}$  حداقل توان موردنیاز برای شبکه است.

### -شاخص‌های توپولوژیکی

شاخص تعادل یا توازن<sup>۱</sup> در گراف: برای کنترل بهتر سیستم‌های توزیع آب معمولاً نیاز است که زیرگراف‌ها (نواحی مجزای هیدرولیکی) متوازن (متعادل) باشند تا کنترل یکپارچه‌ای بر سیستم توزیع آب اعمال شود. به این منظور شاخصی تحت عنوان شاخص توازن (تعادل) معرفی می‌شود که هدف داشتن مقدار حداقلی از تابع زیر است تا نواحی متوازن با حداقل لوله‌های مرزی ایجاد شود

$$I_B = \frac{K \times \max(C_k)}{n} \quad (12)$$

که در آن

$k$  تعداد زیربخش‌ها،  $C_k$  اندازه بزرگترین زیربخش  $n_k$  و  $n$  تعداد کل نقاط است. تعداد لوله‌ای مجهز به جریان‌سنجد (N<sub>fm</sub>): این تعداد از مرحله دوم ناحیه‌بندی شبکه به دست می‌آید. این شاخص بر روی هزینه شبکه تأثیرگذار است، زیرا تعداد جریان‌سنجدی‌ای که برای نظارت در داخل و خارج نواحی قابل اندازه‌گیری نصب می‌شوند را مشخص می‌کند. همچنین، بر تعداد لوله‌ایی که از طریق شیرفلکه‌ها بسته می‌شوند هم تأثیرگذار است. بنابراین این معیار باید حداقل شود.

تعداد لوله‌ای مرزی  $N_{\text{ee}}$  تمام وترهای بین خوش‌های (نواحی مجزای هیدرولیکی) یا برش‌های یالی هستند که هدف در الگوریتم‌های بهینه‌سازی ناحیه‌بندی شبکه توزیع آب بر مبنای تغوری گراف، داشتن کمینه‌ای از این برش‌های یالی است.

### -شاخص‌های هیدرولیکی

با وجود مزایای فراوان، این روش می‌تواند عملکرد هیدرولیکی شبکه را تغییر دهد. زیرا آنها برخلاف معیارهای طراحی سنتی، افزونگی انرژی را که می‌تواند قابلیت اطمینان شبکه را به طور قابل توجهی بهبود بخشد باستن برخی از لوله‌ها از طریق شیرفلکه‌ها کاهش می‌دهد. بنابراین پس از اعمال این روش‌ها باید شاخص‌های عملکردی هیدرولیکی شبکه تحلیل شود.

### -شاخص مقاومت پذیری شبکه (I<sub>r</sub>)

این شاخص توسط آقای تدبینی در سال ۲۰۰۰ معرفی شده است که

<sup>1</sup>Balance Index (I<sub>B</sub>)

شبکه‌ای در ایتالیا تحت عنوان Parete که مشخصات آن در جدول ۳ و شکل ۲ نشان داده شده است (Di Nardo and Di Natale, 2011). با ۱۰۸۰۰ نفر جمعیت در منطقه Caserta ایتالیا واقع شده است. این شبکه با شبکه مشهور C-town توسط دی ناردو و

### ۳- نتایج و بحث

به منظور ارائه اولویت‌بندی طرح‌های بیان شده، از روش امتیازدهی پیشنهادی استفاده شد. این روش در قالب یک پژوهش موردنی برای شبکه توزیع آب در کشور ایتالیا مطرح شد که برای بررسی انواع روش‌های تاچیه‌بندی، از نتایج ارائه شده توسط پژوهشگران پس از تبدیل شبکه به نواحی مجزای قابل اندازه‌گیری، استفاده شد. در انتها، پس از وزن‌دهی معیارها، رتبه‌بندی‌های مختلف برای گزینه‌ها ارائه شد.

### ۳-۱- محاسبه شاخص‌های افزایش‌بندی

ناحیه‌بندی شبکه Parete به ۴ زیربخش با استفاده از روش‌های افزایش‌بندی Parete، EBC، FGC، MA، MLRB و ۳ الگوریتم از روش خوش‌بندی طیفی  $L_{sym}SC$ ،  $L_{tw}SC$ ،  $LSC$  بر روی گراف وزن‌دار (مقدار جریان در هر لوله به عنوان وزن هر وتر در گراف در نظر گرفته می‌شود) و گراف بی‌وزن انجام شد، سپس مرحله دوم ناچیه‌بندی برای تعیین موقعیت جریان‌سنج‌ها و یا شیرفلکه‌ها انجام شد و در مرحله آخر شاخص‌های عملکرد شبکه پس از ناچیه‌بندی محاسبه شد که مقدار این شاخص‌ها در جدول ۴ بیان شدند.

### ۲-۳- به کار گیری AHP

اولین مرحله در روش AHP، تشکیل درخت سلسله مراتبی است که در راس آن درخت، هدف کلی مسئله که یافتن بهترین روش افزایش‌بندی و در سطح بعد معیارها و سطح آخر، گزینه‌ها که مقایسه می‌شوند، است. این درخت در شکل ۳ نشان داده شده است. سپس ماتریس مقایسات زوجی معیارها برای روش AHP بر اساس مطالعه پژوهش‌ها و جمع‌بندی نظر متخصصین مطابق جدول ۵ تشکیل شد. مرحله بعد نرمال کردن اعداد هر یک از معیارهای ماتریس مقایسات زوجی بود و پس از پایان عملیات نرمال‌سازی اعداد، نوبت به استخراج میانگین هندسی از اعداد نرمال شد و به دست آوردن وزن قطعی نرمال‌ها بود که این مقدار در جدول ۶ نشان داده شده است. سپس برای هر گزینه، امتیاز آن محاسبه و نرمال شد. امتیاز پیشتر مربوط به گزینه‌ای بود که با توجه به معیارهای مقایسه‌ای ما برترین انتخاب باشد. نتایج نهایی در جدول ۷ برای دو گراف وزن‌دار و گراف بی‌وزن بیان شده است، الگوریتم  $L_{sym}SC$  در گراف وزن‌دار، شاخص‌هاییش به دلیل ارضا نکردن قید

جدول ۳- مشخصات شبکه Parete  
Table 3. Parete network characteristics

|                            |                           |
|----------------------------|---------------------------|
| Junctions (n)              | 184                       |
| Pipes                      | 282(m)                    |
| Pipe total length          | 32.67 (km)                |
| Pipe material              | cast iron                 |
| Reservoir head             | two to 110 (m)            |
| Total inflow (peak demand) | 110.2 (l/s)               |
| $h^*$                      | 25(m)                     |
| Diameter of pipes (mm)     | 200,150,125,110,100,80,60 |

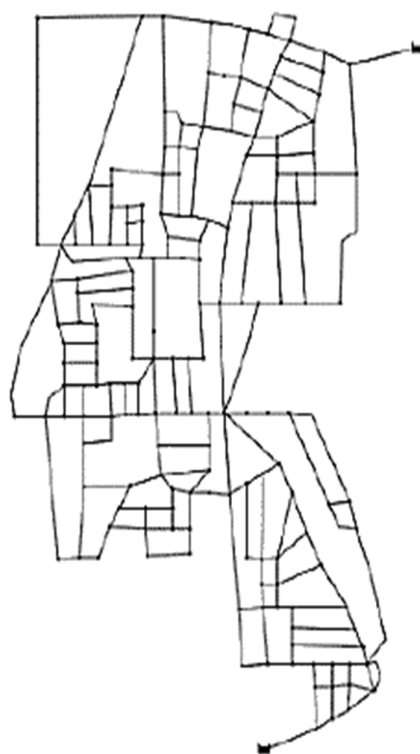


Fig. 2. Parete network topology

شکل ۲- توپولوژی شبکه Parete

همکاران مقایسه شد که در نتیجه، شبکه Parete را شبکه‌ای منسجم‌تر و مستحکم‌تر از C-Town معرفی کردند. آنها شبکه Parete را به عنوان شبکه‌ای مناسب که دارای طرحی کارآمد و مطلوب برای تقسیم به نواحی قابل اندازه‌گیری بهینه است، معرفی کردند (Ostfeld et al., 2012, Di Nardo et al., 2018).



جدول ۴- شاخص‌های افزایشی شبکه  
Table 4. Parete network partition indexes

| Method      | Unweighted graph |                   |                          |                       | Weighted graph |            |                   |                          |                       |         |
|-------------|------------------|-------------------|--------------------------|-----------------------|----------------|------------|-------------------|--------------------------|-----------------------|---------|
|             | Resilience       | Min node pressure | Number of boundary pipes | Number of flow meters | Balance        | Resilience | Min node pressure | Number of boundary pipes | Number of flow meters | Balance |
| MLRB        | 0.32             | 21.49             | 16                       | 6                     | 1.02           | 0.34       | 21.18             | 27                       | 6                     | 1.05    |
| MA          | 0.34             | 21.42             | 18                       | 6                     | 1.00           | 0.34       | 21.18             | 23                       | 6                     | 1.00    |
| FGC         | 0.34             | 20.73             | 14                       | 6                     | 1.24           | 0.28       | 19.65             | 13                       | 6                     | 2.35    |
| EBC         | 0.33             | 21.31             | 14                       | 6                     | 1.22           | 0.35       | 21.63             | 13                       | 6                     | 1.35    |
| LSC         | 0.29             | 22.78             | 16                       | 5                     | 1.04           | 0.33       | 21.58             | 15                       | 5                     | 1.65    |
| $L_{rw}SC$  | 0.29             | 22.78             | 16                       | 5                     | 1.04           | 0.33       | 20.79             | 24                       | 5                     | 1.69    |
| $L_{sym}SC$ | 0.29             | 22.78             | 16                       | 5                     | 1.04           | -          | -                 | -                        | -                     | -       |

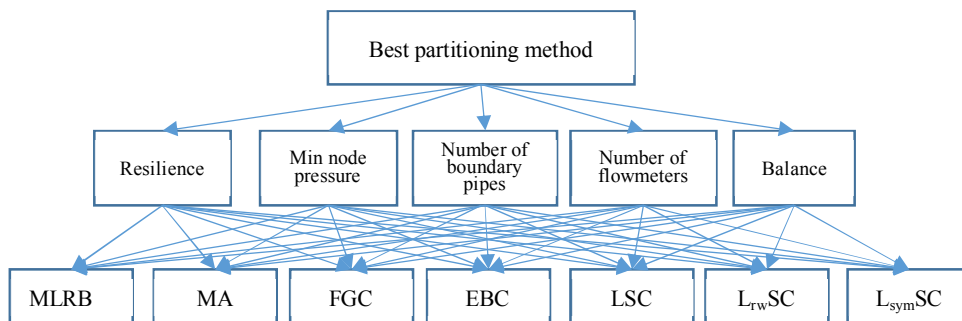


Fig. 3. Hierarchical tree

شکل ۳- درخت سلسه مراتبی

جدول ۵- ماتریس مقایسات زوجی معیارها

Table 5. Matrix of pairwise comparisons of criteria

| Index                    | Resilience | Min node pressure | Number of boundary pipes | Number of flow meters | Balance |
|--------------------------|------------|-------------------|--------------------------|-----------------------|---------|
| Resilience               | 1          | 2                 | 3                        | 5                     | 4       |
| Min node pressure        | 1/2        | 1                 | 2                        | 4                     | 3       |
| Number of boundary pipes | 1/3        | 1/2               | 1                        | 3                     | 2       |
| Number of flow meters    | 1/5        | 1/4               | 1/3                      | 1                     | 1/3     |
| Balance                  | 1/4        | 1/4               | 1/2                      | 3                     | 1       |
| Sum                      | 2.28       | 4.08              | 6.83                     | 16                    | 10.33   |

جدول ۶- نرمال‌سازی و وزن قطعی معیارها

Table 6. Normalization and weighting of criteria

| Index                    | Resilience | Min node pressure | Number of boundary pipes | Number of flow meters | Balance | Absolute weight |
|--------------------------|------------|-------------------|--------------------------|-----------------------|---------|-----------------|
| Resilience               | 0.438      | 0.490             | 0.439                    | 0.312                 | 0.387   | 0.401           |
| Min node pressure        | 0.219      | 0.245             | 0.292                    | 0.25                  | 0.290   | 0.262           |
| Number of boundary pipes | 0.144      | 0.122             | 0.146                    | 0.187                 | 0.193   | 0.161           |
| Number of flow meters    | 0.087      | 0.061             | 0.048                    | 0.0625                | 0.0319  | 0.063           |
| Balance                  | 0.109      | 0.080             | 0.073                    | 0.187                 | 0.096   | 0.111           |



جدول ۷- رتبه‌ها و امتیازهای نهایی  
Table 7. Final rankings and scores

| Weighted graph |            |      | Unweighted graph |             |      |
|----------------|------------|------|------------------|-------------|------|
| Score          | Algorithms | Rank | Score            | Algorithms  | Rank |
| 0.182          | EBC        | 1    | 0.145            | LSC         | 1    |
| 0.174          | LSC        | 2    | 0.145            | $L_{tw}SC$  | 2    |
| 0.170          | MA         | 3    | 0.145            | $L_{sym}SC$ | 3    |
| 0.163          | MLRB       | 4    | 0.141            | MLRB        | 4    |
| 0.156          | $L_{tw}SC$ | 5    | 0.141            | EBC         | 5    |
| 0.152          | FGC        | 6    | 0.140            | FGC         | 6    |
| -              | -          | -    | 0.140            | MA          | 7    |

MLRB در گراف بی وزن رتبه دوم و امتیازی برابر با امتیاز EBC به دست آورد و الگوریتم MA رتبه آخر و امتیازی برابر با FGC را با کمی اختلاف از رتبه دوم کسب کرد.

همان طور که از جدول ۷ و شکل ۴ برداشت می‌شود می‌توان به این نتیجه رسید که در گراف بی وزن ساختار جامعه و افزایش بندی گراف اولویت و برتریتی بر اساس این شاخص‌ها بر یکدیگر ندارند. در گراف وزن دار الگوریتم FGC کمترین مقدار را در انعطاف‌پذیری، حداقل فشار گره‌ای و حداکثر مقدار را در شاخص توازن دارد. همان طور که پیش‌بینی شد به دلیل اهمیت زیاد دو شاخص هیدرولیکی در شبکه توزیع آب، این الگوریتم رتبه پایینی را کسب کرد.

الگوریتم‌های خوش‌بندی طیفی در گراف بی وزن با وجود حداقل مقدار شاخص انعطاف‌پذیری رتبه نخست را کسب کردند. که این رتبه و امتیاز اهمیت روش AHP را برای مقایسه روش‌ها با یکدیگر بیان می‌کند. همچنین امتیازهای کسب شده توسط این الگوریتم‌ها با یکدیگر برابر بود، بنابراین برای مقایسه آنها با یکدیگر به شاخص‌های بیشتری نیاز بود. با توجه به بیشترین وزن برای دو شاخص هیدرولیکی همان طور که پیش‌بینی می‌شد الگوریتم LSC برای گراف وزن دار در رتبه دوم قرار گیرید، زیرا بعد از الگوریتم EBC شاخص‌هایش در شرایط بهتری در مقایسه با سایر روش‌ها قرار داشت. در مجموع می‌توان عنوان کرد الگوریتم خوش‌بندی طیفی نرم‌النیاز نشده LSC و الگوریتم EBC روش‌هایی برتر و الگوریتم FGC روشی با کمترین امتیاز برای افزایش بندی این شبکه هستند.

پیوستگی در شبکه توزیع آب قابل محاسبه نبود و این الگوریتم برای گراف وزن دار از مقایسه حذف شد.

محاسبه نرخ ناسازگاری: برای ماتریس مقایسه زوجی مسئله فوق داریم

$$\lambda_{\max} = \frac{5}{0.1569} \quad n = 5$$

$$(I.I) \frac{\lambda_{\max}-n}{n-1} = 0.0039$$

$$(I.R) \frac{0.0039}{1/12} = 0.0035 \rightarrow ok$$

با توجه به این مقدار از ناسازگاری، وزن‌های تخصیص یافته مورد قبول بود و نیازی به رفع ناسازگاری نبود.

### ۳-۳- ارزیابی روش‌های افزایش بندی

همان طور که انتظار بود الگوریتم EBC و FGC با توجه به مفهوم ساختار جامعه در هر دو گراف وزن دار و بی وزن کمترین تعداد لوله‌های مرزی را کسب کرد. الگوریتم EBC برای گراف وزن دار بیشترین امتیاز را داشت که با توجه به جدول شاخص‌ها با داشتن بیشترین مقدار مقاومت پذیری، حداقل فشار گره‌ای و حداقل تعداد لوله‌های مرزی چنین انتظاری بود. برای این الگوریتم در گراف بی وزن رتبه دوم در نظر گرفته شد.

حداقل توازن برای الگوریتم‌های MA و MLRB به دست آمد که با توجه به مفهوم افزایش بندی گراف چنین انتظاری بود. الگوریتم



کمینه‌سازی تعداد جریان‌سنجهای در رتبه آخر قرار گرفتند که از مزایای این روش رتبه‌بندی معیارها بر اساس نظر متخصصین است. پس از رتبه‌بندی معیارها، گرینه‌های روش AHP از نتایج ارائه شده پژوهشگران که با اعمال ۷ الگوریتم FGC، EBC، MA، MLRB، LSC، L<sub>rw</sub>SC و L<sub>sym</sub>SC شبکه حقیقی در ایتالیا به دست آمده بودند، استفاده شد.

در اکثر پژوهش‌ها توسط پژوهشگران، مقایسه‌ای جامع و کامل و همچنین رتبه‌بندی مشخص برای این روش‌ها بر اساس اهمیت شاخص‌های توپولوژیکی و هیدرولیکی شبکه‌های توزیع آب بیان نشده بود. از آنجا که این روش قابلیت ساده‌سازی مسئله و مقایسه زوجی گزینه‌ها با یکدیگر بر اساس وزن معیارها را دارد و معیارها بر مبنای نظر متخصصین وزن دهی می‌شوند. در نتیجه، برای اولین بار در این پژوهش انواع روش‌های ناحیه‌بندی شبکه توزیع آب با استفاده از وزن دهی معیارهای هیدرولیکی و توپولوژیکی با یکدیگر مقایسه شدند.

در مجموع با استفاده از AHP می‌توان عنوان کرد که الگوریتم‌های EBC و LSC و FGC امتیازی کمتر در مقایسه با روش‌هایی برتر هستند و روش GFC از سایر روش‌ها برای ناحیه‌بندی شبکه توزیع آب کسب کرد. همچنین سایر روش‌ها برای ناحیه‌بندی شبکه توزیع آب نمی‌توانند این روش برای مقایسه این روش‌ها مناسب نیست و پیشنهاد گراف بی‌وزن در صورت در نظر گرفتن شبکه توزیع آب به صورت گراف بی‌وزن از سایر شاخص‌ها برای مقایسه انواع روش‌های ناحیه‌بندی استفاده شود.

از طرفی AHP دقیق به قضاوت‌های دقیق نیاز دارد. همچنین یک مدل تصمیم‌گیری خوب باید تحمل ابهام را داشته باشد. بنابراین، از آنجا که فازی بودن و وجود ابهام، مشخصات عمومی بسیاری از مسائل تصمیم‌گیری هستند، پیشنهاد می‌شود از روش فازی AHP برای مقایسه این روش‌ها استفاده شود.

## ۵- قدردانی

نویسندهای این پژوهش مراتب قدردانی خود را از دانشگاه شهید باهنر کرمان به خاطر حمایت‌های معنوی اعلام می‌کنند.

## References

- Campbell, E., Izquierdo, J., Montalvo, I., Ilaya-Ayza, A., Pérez-García, R. & Tavera, M. 2015. A flexible methodology to sectorize water supply networks based on social network theory concepts and multi-objective

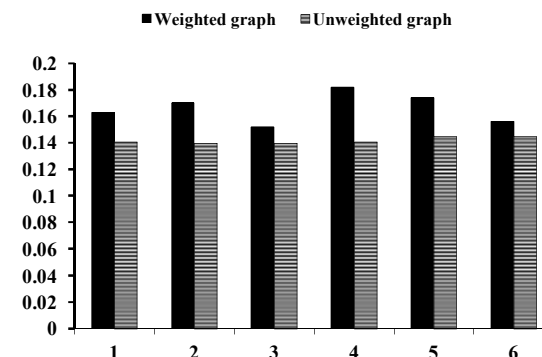


Fig. 4. Comparison of two weighted and unweighted graphs

شکل ۴ - مقایسه دو گراف وزن دار و بی‌وزن

به طور کلی بیان می‌شود، گراف‌های بی‌وزن برای مقایسه این روش‌ها مناسب نیست و پیشنهاد می‌شود این روش‌ها در شرایط گراف بی‌وزن با استفاده از شاخص‌های دیگر بررسی شوند یا این الگوریتم‌ها بر روی شبکه‌های دیگر اعمال و مقایسه شوند. در مورد گراف وزن دار پیشنهاد می‌شود از قطر لوله و مقدار نشت در هر لوله به عنوان وزن استفاده شود و این الگوریتم‌ها مجدداً ارزیابی شوند.

## ۴- نتیجه‌گیری

با توجه به کمبود منابع آب، مسئله نشت و آلودگی در شبکه‌های توزیع آب، سیستم‌های توزیع آب را می‌توان به نواحی مجزای قابل اندازه‌گیری تقسیم کرد. در این پژوهش، بر مبنای تئوری گراف انواع روش‌های ناحیه‌بندی شبکه توزیع آب بیان شد و با استفاده از AHP با هدف کمینه‌سازی شاخص توازن (تعادل) در نواحی مجزای هیدرولیکی، تعداد لوله‌های مرزی، تعداد جریان‌سنجهای و پیشینه‌سازی شاخص مقاومت پذیری و حداقل فشار گرهای، بهترین روش ناحیه‌بندی شبکه‌های توزیع آب بر مبنای تئوری گراف پیشنهاد شد.

با بررسی نظر متخصصین در مورد انواع شاخص‌ها، ماتریس مقایسات زوجی آن‌ها تشکیل شد و شاخص‌ها رتبه‌بندی شدند. معیار پیشینه‌سازی مقاومت پذیری شبکه رتبه یک و شاخص



- optimization. *Journal of Hydroinformatics*, 18, 62-76.
- Ciaponi, C., Murari, E. & Todeschini, S. 2016. Modularity-based procedure for partitioning water distribution systems into independent districts. *Water Resources Management*, 30, 2021-2036.
- Clauset, A., Newman, M. E. & Moore, C. 2004. Finding community structure in very large networks. *Physical Review E*, 70, 066111.
- Di Nardo, A. & Di Natale, M. 2011. A heuristic design support methodology based on graph theory for district metering of water supply networks. *Engineering Optimization*, 43, 193-211.
- Di Nardo, A., Di Natale, M., Giudicianni, C., Greco, R. & Santonastaso, G. F. 2017. Water distribution network clustering: graph partitioning or spectral algorithms? *International Conference on Complex Networks and their Applications*, Lyon, France, 1197-1209.
- Di Nardo, A., Di Natale, M., Giudicianni, C., Musmarra, D., Santonastaso, G. F. & Simone, A. 2015. Water distribution system clustering and partitioning based on social network algorithms. *Procedia Engineering*, 119, 196-205.
- Di Nardo, A., Di Natale, M., Greco, R. & Santonastaso, G. F. 2014. Ant algorithm for smart water network partitioning. *Procedia Engineering*, 70, 525-534.
- Di Nardo, A., Di Natale, M., Santonastaso, G. F. & Venticinque, S. 2013. An automated tool for smart water network partitioning. *Water Resources Management*, 27, 4493-4508.
- Di Nardo, A., Giudicianni, C., Greco, R., Herrera, M. & Santonastaso, G. F. 2018. Applications of graph spectral techniques to water distribution network management. *Water*, 10, 45.
- Farley, M., Water, S., Supply, W., Council, S. C. & Organization, W. H. 2001. *Leakage management and control: a best practice training manual*, WHO, Pub., Geneva, Switzerland.
- Lee, H. & Kong, M. 2017. Analysis level of service for asset management in water supply network. *International Journal of Applied Engineering Research*, 12, 9890-9895.
- Okeola, O. & Sule, B. 2012. Evaluation of management alternatives for urban water supply system using multicriteria decision analysis. *Journal of King Saud University-Engineering Sciences*, 24, 19-24.
- Ostfeld, A., Salomons, E., Ormsbee, L., Uber, J. G., Bros, C. M., Kalungi, P., et al. 2012. Battle of the water calibration networks. *Journal of Water Resources Planning and Management*, 138, 523-532.
- Perelman, L. & Ostfeld, A. 2011. Topological clustering for water distribution systems analysis. *Environmental Modelling & Software*, 26, 969-972.
- Saaty, R. W. 1987. The analytic hierarchy process-what it is and how it is used. *Mathematical Modelling*, 9(3-5), 161-176.
- Scarpa, F., Lobba, A. & Becciu, G. 2016. Elementary DMA design of looped water distribution networks with multiple sources. *Journal of Water Resources Planning and Management*, 142, 04016011.
- Shekofteh, M. & Ghazizadeh, M. J. 2020. The optimized implementation of the district metered areas in the water distribution networks using graph theory, *Journal of Water and Wastewater*, 31(1), 12-24 (In Persian).
- Tanyimboh, T. T. & Kalungi, P. 2009. Multicriteria assessment of optimal design, rehabilitation and upgrading schemes for water distribution networks. *Civil Engineering and Environmental Systems*, 26, 117-140.
- Von Luxburg, U. 2007. A tutorial on spectral clustering. *Statistics and Computing*, 17, 395-416

